



10-33-YC-AM-128.- Brecha volcánica a muro de la formación volcánica
ca. 1000 m.s.n.m.



10-33-YC-AM-132.- Contacto neto entre las cuarcitas del Cámbrico= CA₁₂ y la formación volcánica. El extremo metálico descansa sobre las cuarcitas mientras el opuesto lo hace sobre una potente brecha volcánica.

10-33-YC-AM-1174.- Conglomerado polimictico pliocénico.





10-33-YC-AM-~~4~~176.- Detalle de los conglomerados pliocénicos del extremo NE de la Hoja.



10-33-YC-AM-416.- Detalle del conglomerado de base del Cámbrico = inferior. Esquema NO.



10-33-YC-AM-435.- Detalle de los tramos morados incluidos dentro de la formación detrítica del Cámbrico inferior (CA₁).



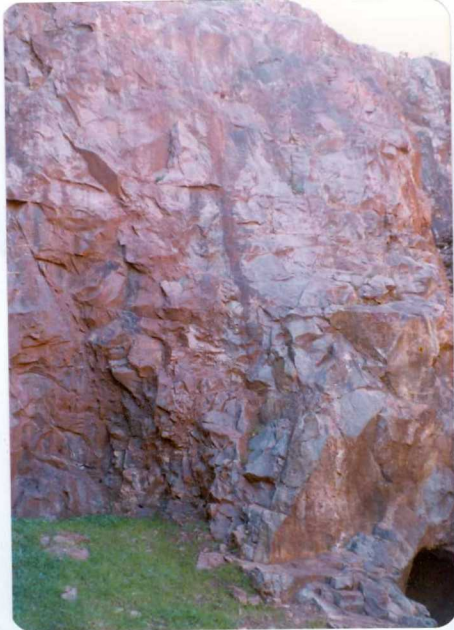
10-33-YC-AM-439.- Canchal de cuarcita negra y rocas metamórficas.
Paisaje típico de la zona NE, perteneciente al
anticlinalorio Badajoz-Córdoba.



10-33-YC-AM-447.- Ortoneises de Aceuchal (esquema NE).

10-33-YC-AM-56 - Conductos perforados en las pizarras carboníferas.





10-33-YC-AM-584.- Explotación a cielo abierto y socavón en la región minera de Feria.



10-33-YC-AM-614.- Conglomerado de base del Cámbrico inferior, perteneciente a la franja cámbrica situada al E de Santa Marta; obsérvese la existencia de fragmentos de cuarcita negra así como el contraste de tamaño.



10-33-YC-AM-649.- Filón mineralizado en el borde N de la formación volcánica. Las rocas aquí visibles están totalmente limonitizadas.